

УДК.621.315

Փիզիկա

**УПРАВЛЕНИЕ ЭНЕРГИЕЙ ОСНОВНОГО ПЕРЕХОДА В ЦИЛИНДРИЧЕСКОЙ КВАНТОВОЙ ТОЧКЕ, ПОКРЫТОЙ СЛОЕМ КВАНТОВОЙ ЯМЫ**

**Армен АЛЕКСАНЫАН, Карен АРАМЯН,**

**Գրաիա НИКОГОСЯН, Ваге БУНИАТЯН**

*Ключевые слова:* Квантовая точка, квантовая яма, гетероструктура, энергия основного перехода.

*Բանալի բառեր`* քվանտային կետ, քվանտային փոս, հետերոկառուցվածք, հիմնական անցման էներգիա:

*Key words.* Quantum dot, quantum well, heterostructure, basic energy transition.

*A.Aleksanyan, K.Aramyan, G.Nikoghosian, V.Buniatyan*

*Energy Management of the Main Transition in Cylindrical Quantum Dot, Covered with a Layer of the Quantum Well*

*It is shown that in the heterostructure quantum dots of cylindrical form, covered by a quantum well, is possible to control the energy of the main transition. The dependence of the energy of the main transition from the radius of cylinder is determined:*

**Վ.Բունիատյան, Հ.Նիկողոսյան, Կ.Արամյան, Ա.Ալեքսանյան**

**Քվանտային փոսի շերտով ծածկված գլանաձև քվանտային կետի հիմնական անցման էներգիայի կառավարում**

*Ցույց է տրված, որ գլանաձև քվանտային կետերով հետերոկառուցվածքներում, որոնք ծածկված են քվանտային փոսով, հնարավոր է կառավարել հիմնական անցման էներգիայով: Որոշված է հիմնական անցման էներգիայի կախումը գլանի շառավիղից:*

*Показано, что в гетероструктурах квантовыми точками цилиндрической формы, покрытыми квантовой ямой, можно управлять энергией основного перехода. Определена зависимость энергии основного перехода от радиуса цилиндра.*

Гетероструктуры с КТ вызывают повышенный интерес исследователей благодаря перспективам их применения в оптоэлектронике, в частности, для создания высокоэффективных инжекционных лазеров для волоконно-оптических линий связи [1].

Актуальной задачей является выращивание структур, излучающих в окне максимальной прозрачности оптического волокна на длине волны  $\lambda \approx 1,55$  мкм, которой соответствует энергия основного перехода в квантовой точках,  $E_0 \approx 0.8$  эВ.

Одним из методов расширения спектрального диапазона излучающих приборов на основе арсенида галлия является применение структур, в которых квантовые точки InAs зарощены слоем квантовой ямы [2,3].

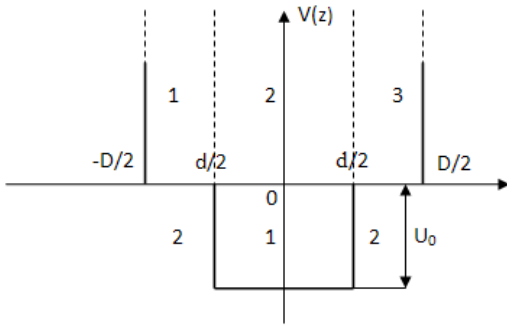
Поэтому, целью данной работы является определение зависимости энергии основного перехода в КТ от толщины и состава покровного слоя.

С другой стороны экспериментальные наблюдения массивов КТ InAs на подложке GaAs показывают, что InAs представляют собой сильно сплюснутые эллипсоидальные кластеры [4]. Однако, в [5] показано, что квантовые уровни КТ подобной формы можно получить заменой на КТ цилиндрической формы.

2. Уравнение Шредингера, описывающее движение в z направлении при параболическом законе дисперсии имеет вид

$$\left\{ \frac{d^2}{dz^2} + \frac{2m_1^*}{\hbar^2} (E_z - V(z)) \psi(z) = 0 \right\}, \text{ где } V(z) = \begin{cases} -U_0; |z| \leq \frac{d}{2} \\ 0; |z| > \frac{d}{2} \end{cases} \quad (1)$$

При значении энергии  $|E_z| < U_0$  (рис.1) приходим к следующим двум уравнениям



$$\begin{cases} \left( \frac{d^2}{dz^2} + \epsilon^2 \right) \psi = 0, |z| \leq \frac{d}{2}, \\ \left( \frac{d^2}{dz^2} - \epsilon^2 \right) \psi = 0, |z| > \frac{d}{2} \end{cases} \quad (2)$$

где  $k = \sqrt{\frac{2m_1^*}{\hbar^2} (U_0 + E_z)}$ ,  $q = \sqrt{-\frac{2m_2^*}{\hbar^2} E_z}$  (3)

Вне квантовой точки, в областях  $|z| > \frac{d}{2}$ ,  $\psi = A e^{-q|z|}$

Внутри квантовой точки, для состояний положительной четности  $|z| \leq \frac{d}{2}$

$$\psi = B \cos kz, \quad \psi = C \sin kz$$

Из условия непрерывности в точке  $z = \frac{d}{2}$  для состояний (+) четности имеем

$$B \cos \frac{kd}{2} = A e^{-\frac{qd}{2}}, \quad B \sin \frac{kd}{2} = A \frac{q}{k} e^{-\frac{qd}{2}}$$

Уровни энергии  $E_{Hz}$  в квантовой точке для состояний положительной четности определяются из трансцендентного уравнения

$$\operatorname{tg} \frac{kd}{2} = \frac{q}{k}, \quad k = \sqrt{\frac{2m_1^* J_0}{\hbar^2} + \frac{2m_1^*}{\hbar^2} E_z} = \sqrt{\frac{2m_1^* J_0}{\hbar^2} - \frac{m_1^*}{m_2^*} q^2} \quad (4)$$

где  $m_1^*$  и  $m_2^*$  – эффективные массы электрона в области квантовой точки и в среде квантовой ямы, соответственно.

Из условия нормировки волновой функции  $\int |\psi|^2 dz = 1$  внутри квантовой точки, имеем

$$B = \left( \frac{2}{d} \right)^{1/2} \left( 1 + \frac{\sin kd}{kd} \right)^{-1/2}$$

Найдем разрешенные уровни энергии  $E_z > 0$ , попадающие в широкую часть квантовой ямы с бесконечно высокими стенками. В областях 1 и 3 имеем следующее уравнение

$$-\frac{\hbar^2}{2m_2^*} \frac{d^2}{dz^2} \psi = E_z \psi,$$

в области 2 
$$\left( -\frac{\hbar^2}{2m_1^*} \frac{d^2}{dz^2} - J_0 \right) \psi = E_z \psi$$

Соответствующие решения имеют вид  $\psi_j = A_j \exp(k_j z) + B_j \exp(-ik_j z)$ ,  $j = 1, 2, 3$

где  $k_1 = k_3 = \sqrt{\frac{2m_2^*}{\hbar^2} E_z}$ ,  $k_2 = \sqrt{\frac{2m_1^*}{\hbar^2} (E_z + J_0)}$

Из условия непрерывности плотности вероятности и плотности потока вероятности на

границах  $|z| = \frac{d}{2}$  и  $|z| = \frac{D}{2}$

$$\psi_{-}\left(z = -\frac{d}{2}\right) = \psi_{-}\left(z = -\frac{d}{2}\right) \psi_{-}\left(z = +\frac{d}{2}\right) = \psi_{-}\left(z = \frac{d}{2}\right)$$

$$\frac{1}{m_2^*} \left( \frac{d\psi_{-}}{dz} \right)_{z=-\frac{d}{2}} = \frac{1}{m_1^*} \left( \frac{d\psi_{-}}{dz} \right)_{z=-\frac{d}{2}}, \frac{1}{m_1^*} \left( \frac{d\psi_{-}}{dz} \right)_{z=\frac{d}{2}} = \frac{1}{m_2} \left( \frac{d\psi_{-}}{dz} \right)_{z=\frac{d}{2}}$$

$$\psi_{-}\left(z = -\frac{D}{2}\right) = \psi_{-}\left(z = \frac{D}{2}\right) = )$$

Получим

$$\begin{aligned} & A_1 e^{-ik_1 \frac{d}{2}} + B_1 e^{ik_1 \frac{d}{2}} - A_2 e^{-k_2 \frac{d}{2}} - B_2 e^{ik_2 \frac{d}{2}} = ) \\ & A_2 e^{ik_2 \frac{d}{2}} + B_2 e^{-k_2 \frac{d}{2}} - A_3 e^{ik_3 \frac{d}{2}} - B_3 e^{-ik_3 \frac{d}{2}} = ) \\ & A_1 \frac{ik_1}{m_2^*} e^{-ik_1 \frac{d}{2}} - B_1 \frac{ik_1}{m_2^*} e^{ik_1 \frac{d}{2}} - A_2 \frac{ik_2}{m_1^*} e^{-k_2 \frac{d}{2}} + B_2 \frac{ik_2}{m_1^*} e^{ik_2 \frac{d}{2}} = ) \quad (5) \\ & A_2 \frac{ik_2}{m_1^*} e^{ik_2 \frac{d}{2}} - B_2 \frac{ik_2}{m_1^*} e^{-k_2 \frac{d}{2}} - A_3 \frac{ik_3}{m_2^*} e^{ik_3 \frac{d}{2}} + B_3 \frac{ik_3}{m_2^*} e^{-k_3 \frac{d}{2}} = ) \\ & A_1 e^{-ik_1 \frac{D}{2}} + B_1 e^{ik_1 \frac{D}{2}} = ) \quad A_3 e^{ik_3 \frac{D}{2}} + B_3 e^{-k_3 \frac{D}{2}} = ) \quad A_3 e^{ik_3 \frac{D}{2}} + B_3 e^{-ik_3 \frac{D}{2}} = ) \end{aligned}$$

Здесь  $B_1 = -A_1 e^{-k_1 D}$ ,  $B_3 = -A_3 e^{ik_3 D}$

Учитывая симметрию формы квантовой ямы, имеем

$$\psi_{+}(z) = \psi_{-}(z) \quad (\text{для четных состояний})$$

$$\psi_{+}(z) = -\psi_{-}(z) \quad (\text{для нечетных состояний})$$

Рассмотрим четные состояния

$$\psi_{+} = A_2 e^{ik_2 z} + B_2 e^{-k_2 z} \quad (6)$$

$$\psi_{-} = k_2 A_2 e^{ik_2 z} - k_2 B_2 e^{-k_2 z} \quad (7)$$

Из условия (7) получим  $A_2 = B_2$ , откуда из (5) находим следующее соотношение

$$\begin{aligned} & A_1 \left( e^{-ik_1 \frac{d}{2}} - e^{-ik_1 D} e^{-ik_1 \frac{d}{2}} \right) - A_2 \cos k_2 \frac{d}{2} = ) \\ & 2A_2 \cos k_2 \frac{d}{2} + A_3 \left( e^{ik_3 D} e^{-ik_1 \frac{d}{2}} - e^{ik_1 \frac{d}{2}} \right) = ) \quad (8) \\ & \frac{A_1 k_1}{m_2^*} \left( e^{-ik_1 \frac{d}{2}} + e^{-ik_1 D} e^{ik_1 \frac{d}{2}} \right) + \frac{2k_2 i}{m_1^*} A_2 \sin k_2 \frac{d}{2} = ) \\ & A_2 \frac{2ik_2}{m_1^*} \sin k_2 \frac{d}{2} - A_3 \frac{k_1}{m_2^*} \left( e^{ik_1 \frac{d}{2}} + e^{ik_1 D} e^{-ik_1 \frac{d}{2}} \right) = ) \end{aligned}$$

Таким образом, из (3) не трудно получить трансцендентные уравнения для определения разрешенных значений энергии  $E_z > 0$ .

$$\text{Для четных состояний} \quad ctg k_2 \frac{d}{2} = \frac{n_2^* k_2}{m_1^* k_1} tg(k_1 D - \frac{d}{2}) \quad (9)$$

Для нечетных состояний  $tg(k_2 \frac{d}{2}) = - \frac{n_2^* \kappa_2}{m_1^* \kappa_1} \cdot tg(\dots)$  (10)

Далее найдем разрешенные уровни радиального движения в потенциальной яме вида

$$U(\rho) = \begin{cases} -U_0, \rho < R, \\ 0, \rho \geq R \end{cases}$$

В цилиндрической системе координат гамильтониан имеет вид

$$\hat{H} = \frac{\hbar^2}{2m_{1,2}^*} \left[ \frac{1}{\rho} \frac{\partial}{\partial \rho} \left( \rho \frac{\partial}{\partial \rho} \right) + \frac{1}{\rho^2} \cdot \frac{\partial^2}{\partial \varphi^2} + \frac{\partial^2}{\partial z^2} \right] + J(\rho)$$

С учетом цилиндрической симметрии задачи, радиальное движение описывается уравнением Шредингера (после разделения переменных),

$$\frac{-\hbar^2}{2m_{1,2}^*} \left[ \frac{1}{\rho} \frac{\partial}{\partial \rho} \left( \rho \frac{\partial}{\partial \rho} \right) - \frac{n^2}{\rho^2} \right] \chi_{n\rho,m}(\rho) + J(\rho) \chi_{n\rho,m}(\rho) = E_{n\rho,m} \cdot \chi_{n\rho,m}(\rho)$$

Так что собственные функции гамильтониана  $\hat{H}$

$$\psi_{n\rho,m,n_z}(\rho, \varphi, z) = \psi_{n_z} \cdot \chi_{n\rho,m}(\rho)$$

В области 2 (квантовой точки)

$$-\frac{\hbar^2}{2m_1^*} \left[ \frac{1}{\rho} \frac{\partial}{\partial \rho} \left( \rho \frac{\partial \chi}{\partial \rho} \right) + \frac{\partial^2 \chi}{\partial \rho^2} - \frac{n^2}{\rho^2} \chi \right] - J_0 \cdot \chi = E_{n\rho,m} \cdot \chi, \rho < R$$

В областях 1 и 3

$$-\frac{\hbar^2}{2m_2^*} \left[ \frac{1}{\rho} \frac{\partial \chi}{\partial \rho} + \frac{\partial^2 \chi}{\partial \rho^2} - \frac{n^2}{\rho^2} \chi \right] = E_{n\rho,m} \cdot \chi, \rho \geq R.$$

Обозначим  $r = \sqrt{\frac{2m_2^* \cdot |E_{n\rho,m}|}{\hbar^2}}$ ,  $\rho = \sqrt{\frac{2m_1^* (V_0 + |E_{n\rho,m}|)}{\hbar^2}}$ ,  $t = \rho$ ,  $s = \rho R$

В итоге приходим к соответствующим уравнениям

при  $\rho \geq R$   $\frac{\partial \chi}{\partial t} + \frac{1}{t} \frac{\partial}{\partial t} \left( - \frac{n^2}{t^2} \right) \chi = E$ , и при  $\rho < R$   $\frac{\partial \chi}{\partial s^2} + \frac{1}{s} \frac{\partial}{\partial s} \left( - \frac{n^2}{s^2} \right) \chi = E$ ,

$$\chi = {}_1I_m(\rho) + {}_2N_m(\rho), \quad \chi = {}_3I_m(\rho) + {}_4N_m(\rho)$$

где  $I$  - функции Бесселя и Неймана. Исходя из условия конечности волновой функции, при  $\rho = 0$  следует, что  $C_2 + C_4 = 0$ .

Вне потенциальной ямы квантовой точки для состояний с  $n \neq 0$  в качестве решения уравнения (2) служат цилиндрические функции мнимого аргумента (функции Макдональда).

То есть при  $\rho \geq R$   $\chi = {}_1K_m(\rho)$

Напишем условия непрерывности плотности вероятности и плотности потока вероятности в точке  $\rho = R$

$$\begin{cases} c_1 K_m(R) = c_3 I_m(\rho R) \\ c_1 \frac{1}{m_2^*} K'_m(\rho R) = c_3 \frac{1}{m_1^*} I'_m(\rho R) \end{cases}$$

Решения последней системы определяют дискретный спектр в квантовой точке.

Рассмотрим решение последней системы при  $m=0$ . В случае неглубокой ямы

$$\xi = \frac{m_1^* J_0 R^2}{\hbar^2} \ll 1, \eta = \frac{m_2^* |E_{n\rho,m}| R^2}{\hbar^2} \ll 1,$$

$$I_0(x) \approx 1, I'_0(x) \approx -\frac{x}{2}, K_0(x) \approx n \frac{x}{2}, K'_0(x) \approx -\frac{1}{x}$$

при  $x \ll 1$   $\frac{K_m(R) \cdot m_2^*}{r \cdot K'_m(R)} = \frac{I_m(\rho R) \cdot m_1^*}{\rho I'_m(\rho R)}$

или

$$\frac{K_m \left( \sqrt{\frac{2m_2^* |E_{n\rho,m}| R^2}{\hbar^2}} \right)}{\sqrt{\frac{2m_2^* |E_{n\rho,m}|}{\hbar^2}} \cdot K'_m \left( \sqrt{\frac{2m_2^* |E_{n\rho,m}| R^2}{\hbar^2}} \right)} = \frac{I_m \left( \sqrt{\frac{2m_1^* (U_0 + |E_{n\rho,m}|) R^2}{\hbar^2}} \right)}{\sqrt{\frac{2m_1^* (U_0 + |E_{n\rho,m}|)}{\hbar^2}} \cdot I'_m \left( \sqrt{\frac{2m_1^* (U_0 + |E_{n\rho,m}|) R^2}{\hbar^2}} \right)} \cdot \frac{m_1^*}{m_2^*}$$

Учитывая, что  $|E_{n\rho,m}|_{n\rho,m=0} \ll V_0$ , получим

$$\frac{\ln \left( \frac{2}{\sqrt{\frac{2m_2^* |E_{00}| R^2}{\hbar^2}}} \right) \sqrt{\frac{2m_2^* |E_{00}| R^2}{\hbar^2}}}{\sqrt{\frac{2m_2^* |E_{00}|}{\hbar^2}}} = \frac{2}{\sqrt{\frac{2m_1^* (U_0 + |E_{00}|) R^2}{\hbar^2}} \sqrt{\frac{2m_1^* (U_0 + |E_{00}|) R^2}{\hbar^2}}} \cdot \frac{m_1^*}{m_2^*},$$

$$R \ln \frac{2}{\sqrt{\frac{2m_2^* |E_{00}| R^2}{\hbar^2}}} = \frac{2 \frac{m_1^*}{m_2^*}}{\frac{2m_1^* (U_0 + |E_{00}|) R^2}{\hbar^2}} \cdot \ln \frac{2}{\sqrt{\frac{2m_2^* |E_{00}| R^2}{\hbar^2}}} = \frac{m_1^*}{m_2^*},$$

$$\ln \frac{2}{\sqrt{\frac{2m_2^* |E_{00}| R^2}{\hbar^2}}} = \frac{\hbar^2}{U_0 R^2 m_2^*} \sqrt{\frac{m_2^* |E_{00}| R^2}{2\hbar^2}} = \exp \left( -\frac{\hbar^2}{U_0 R^2 m_2^*} \right)$$

$$E_{00} = -\frac{2\hbar^2}{m_2^* R^2} \exp\left(-\frac{2\hbar^2}{U_0 R^2 m_2^*}\right)$$

Соответствующая волновая функция внутри квантовой ямы

$$\chi = \int_0^R I_m(\rho) \rho^{-1} d\rho = \int_0^R I_0(\rho) \rho^{-1} d\rho, \quad \text{где} \quad \rho = \sqrt{\frac{2m_1^*(U_0 + |E_{00}|)}{\hbar^2}}$$

Из условия нормировки 
$$c_3^2 \int_0^R I_m^2(\rho) \rho^{-1} d\rho = \frac{\rho^2}{2} \left[ I_m^2(\rho) - I_{m-}(\rho) \cdot I_{m+}(\rho) \right] \Big|_0^R$$

С учетом рекуррентного соотношения 
$$I_{m-}(\rho) \cdot I_{m+}(\rho) = \frac{2m}{\rho R} I_m(\rho)$$

имеем

$$\int_0^R I_m^2(\rho) \rho^{-1} d\rho = \frac{\rho}{2} \left[ I_m^2(\rho) - I_{m+}^2(\rho) - \frac{2m}{\rho R} I_m(\rho) \cdot I_{m+}(\rho) \right] \Big|_0^R$$

$$= \frac{R^2}{2} \left[ I_m^2(\rho R) - I_{m+}^2(\rho R) - \frac{2m}{\rho R} I_m(\rho R) \cdot I_{m+}(\rho R) \right]$$

$$c_3 = \frac{\sqrt{2}}{R} \left( I_m^2(\rho R) - I_{m+}^2(\rho R) - \frac{2m}{\rho R} I_m(\rho R) \cdot I_{m+}(\rho R) \right)^{\frac{1}{2}}$$

при m=0 
$$c_3 = \frac{\sqrt{2}}{R} \left( I_0^2(\rho R) - I_1^2(\rho R) \right)^{\frac{1}{2}}, \quad \text{где} \quad \rho = \sqrt{\frac{2m_1^*(U_0 + |E_{00}|)}{\hbar^2}}$$

3. Таким образом, энергия основного состояния  $E_{000} = E_0 + E_{00}$ , где  $E_0$ -энергия основного состояния для движения электрона на оси z, которое получается при решении уравнения (4), а  $E_{00}$ -энергия основного состояния (11), соответствующего движению, поперечному к оси цилиндра.

Видно, что энергия основного состояния  $E_{000}$  заглубляется в зависимости от радиуса цилиндра, что может привести к красному смещению энергии основного перехода  $E_{000}$  в квантовых точках. Отметим, что красное смещение энергии основного перехода принимает максимальное значение при  $R_0 = (2\hbar/U_0 m_2^*)^{1/2}$ .

### Литература

1. M.Grundmann, Physika, E 5, 167 (2000).
2. K.Nishi, H.Sano. et.al. Appl. Phys. Lett, 74, 1111 (1999).
3. Б.В.Воловик и др., ФТП 33, 990 (1999).
4. Н.Н.Леденцов и др., ФТП 32, 385 (1998).
5. Г.Г.Зегря и др., ФТП 37, 334 (2003).

### Сведения об авторах:

**Армен Алексанян** - аспирант, кафедра общей и прикладной физики АрГУ

E-mail: alex.armen88@gmail.com

**Карен Арамян** – к.ф.м.н., профессор, декан физико-математического факультета АрГУ

E-mail: k\_aramyan@rambler.ru

**Грачия Никогосян** - к.ф.м.н., доцент, Гюмрийский государственный педагогический институт

E-mail: hrach1960@mail.ru

**Ваге Буниятян** - д.т.н. професор, НПУА (НАЦИОНАЛЬНЫЙ ПОЛИТЕХНИЧЕСКИЙ УНИВЕРСИТЕТ АРМЕНИИ)

E-mail: vbuniat@seua.am

Статья рекомендована к печати членом редакционной коллегии, д.ф.м.н., А.М. Хачатрянном.